

ВЫСОКОТЕМПЕРАТУРНЫЙ СТРУКТУРНЫЙ ФАЗОВЫЙ ПЕРЕХОД В МУЛЬТИФЕРРОИКЕ LiCu_2O_2

K. E. Каменцев^a, A. A. Буш^{a}, Э. А. Тищенко^b, С. А. Иванов^{c,d},
M. Оттоссон^{e**}, P. Маттье^{d**}, P. Нордблад^{d**}*

^a Московский государственный технический университет радиотехники, электроники и автоматики
119454, Москва, Россия

^b Институт физических проблем им. П. Л. Капицы Российской академии наук
119334, Москва, Россия

^c Научно-исследовательский физико-химический институт им. Л. Я. Карпова
105064, Москва, Россия

^d Department of Engineering Sciences, Uppsala University, Box 534
SE-75121, Uppsala, Sweden

^e Department of Chemistry, Uppsala University, Box 538
SE-75121, Uppsala, Sweden

Поступила в редакцию 12 февраля 2013 г.

Приведены результаты термогравиметрических, рентгенодифракционных и электрических исследований монокристаллов фазы LiCu_2O_2 в области температур 300–1100 К. Найдено, что при $T = 993$ К в фазе происходит обратимый фазовый переход первого рода между ромбической и тетрагональной формами. При температуре фазового перехода наблюдаются выраженный пик на кривой дифференциального термического анализа, скачки значений параметров элементарной ячейки и электрического удельного сопротивления. На основе данных об особенностях кристаллической структуры LiCu_2O_2 и определенной величины изменения энтропии, связанной с фазовым переходом, сделано заключение о том, что обнаруженный фазовый переход вызван процессами упорядочения–разупорядочения катионов Cu^{2+} и Li^+ в их структурных позициях.

DOI: 10.7868/S0044451013080130

1. ВВЕДЕНИЕ

Кристаллы $\text{LiCu}_2\text{O}_2 = \text{LiCu}^+\text{Cu}^{2+}\text{O}_2$ содержат равное количество немагнитных Cu^+ и магнитных Cu^{2+} со спином $S = 1/2$ катионов меди, которые при комнатной температуре упорядоченно расположены в их структурных позициях [1, 2]. Кристаллы характеризуются ромбической пространственной группой $Pnma$ с параметрами элементарной ячейки, равными $a = 5.730(1)$ Å, $b = 2.8606(4)$ Å, $c = 12.417(2)$ Å, $z = 4$. Кристаллическая структура LiCu_2O_2 состоит из простирающихся вдоль оси b Cu–O- и Li–O-цепочек

чек, формирующих в ab -плоскостях квадратные сетки LiO_4 и CuO_4 , соединенные общими ребрами [1]. В направлении оси c указанные сетки связываются $\text{O}^{2-}\text{–Cu}^+\text{–O}^{2-}$ -гантелями (рис. 1).

Характерной структурной особенностью фазы LiCu_2O_2 , определяющей ее магнитные свойства, являются простирающиеся вдоль оси b пары обменно-связанных между собой медь-кислородных цепочек, формирующих зигзагообразную лестницеподобную структуру (ladder system). Соседние обменно-связанные пары цепочек находятся на значительном расстоянии друг от друга и разделены цепочками из катионов Li^+ и слоями немагнитной меди Cu^+ (рис. 1).

Кристаллы LiCu_2O_2 используются как модельные объекты для исследований спин-лестничных

*E-mail: aabush@yandex.ru

**M. Ottosson, R. Mathieu, P. Nordblad

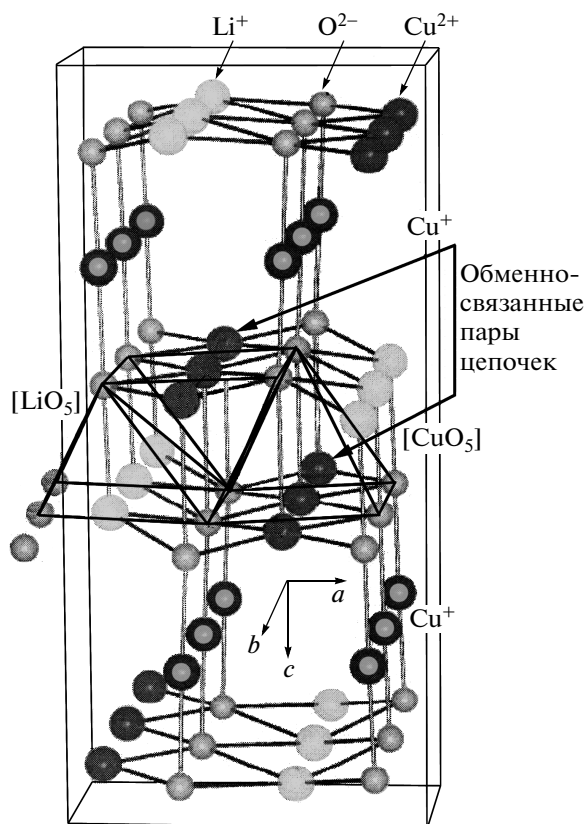


Рис. 1. Ромбическая кристаллическая структура низкотемпературной формы LiCu_2O_2 : пр. гр. $Pmna$, № 62, $a = 5.73 \text{ \AA}$, $b = 2.86 \text{ \AA}$, $c = 12.41 \text{ \AA}$, $z = 4$ (по данным работы [1])

спиновых структур, проявляющихся при низких температурах низкоразмерный магнетизм [3–23]. В них имеет место конкуренция ферро- и антиферромагнитных обменных взаимодействий ближайших J_1 и следующих за ближайшими J_2 спинов в цепочках CuO_2 , а также сильным антиферромагнитным взаимодействием спинов между соседними цепочками J_3 ($J_1 = -7.0 \text{ мэВ}$, $J_2 = 3.75 \text{ мэВ}$, $J_3 = 3.4 \text{ мэВ}$ [10]). По этой причине LiCu_2O_2 относится к классу фрустрированных квазиодномерных магнетиков.

Обменные взаимодействия между Cu^{2+} в цепочках вызывают два последовательных магнитных фазовых перехода при $T_{N1} = 24.6 \text{ К}$ и $T_{N2} = 23.2 \text{ К}$ с образованием коллинеарной несоразмерно модулированной спиновой структуры в области $T_{N2} - T_{N1}$ и неколлинеарной геликоидально несоразмерно модулированной спиновой структуры ниже T_{N2} [5, 9, 12, 14–20].

Фрустрированный магнетик LiCu_2O_2 является ярким представителем несобственных мультифер-

роиков, в которых возникающая ниже T_{N2} геликоидальная спиновая структура индуцирует вдоль c -оси кристаллов макроскопическую электрическую поляризацию \mathbf{P}_s [11, 14, 15, 19, 20, 22]. Они проявляют выраженный магнитоэлектрический эффект и их электрическая поляризация может быть обратимо переориентирована приложенным магнитным полем.

Кроме того, кристаллы LiCu_2O_2 проявляют электрическую неустойчивость в виде эффекта порогового переключения электрическим полем из высокоомного в низкоомное состояние с характерными S -образными вольт-амперными характеристиками, содержащими участок с отрицательным дифференциальным сопротивлением [24, 25]. Довольно низкие величины критического напряжения переключения делают эти кристаллы перспективными для применений в качестве активных элементов переключающихся устройств, управляемых индуктивных элементов и релаксационных генераторов.

Дополнительный интерес к LiCu_2O_2 вызван тем, что эта фаза по кристаллохимии подобна высокотемпературным сверхпроводящим купратам [26–28].

Практически все исследования кристаллов LiCu_2O_2 были выполнены при низких температурах ($T < 300 \text{ K}$); данные о физических свойствах LiCu_2O_2 при температурах, лежащих выше комнатной, в литературе практически отсутствуют. Важность высокотемпературных исследований обусловлена тем, что именно при высоких температурах формируются кристаллическая структура и ее дефектность, оказывающие существенное влияние на физические свойства кристаллов.

В настоящей работе приводятся результаты высокотемпературных термогравиметрических и рентгенодифракционных порошковых исследований, а также измерений удельного электрического сопротивления на монокристаллических образцах LiCu_2O_2 . При $T = 993 \text{ K}$ в кристаллах был обнаружен обратимый фазовый переход первого рода между ромбической и тетрагональной формами, связанный с процессами упорядочения–разупорядочения катионов Li^+ и Cu^{2+} в их структурных позициях.

2. ЭКСПЕРИМЕНТАЛЬНАЯ ЧАСТЬ

Получение монокристаллов и их аттестация. Используемые в настоящих исследованиях монокристаллы LiCu_2O_2 были выращены методом расплав-расплавной кристаллизации в условиях мед-

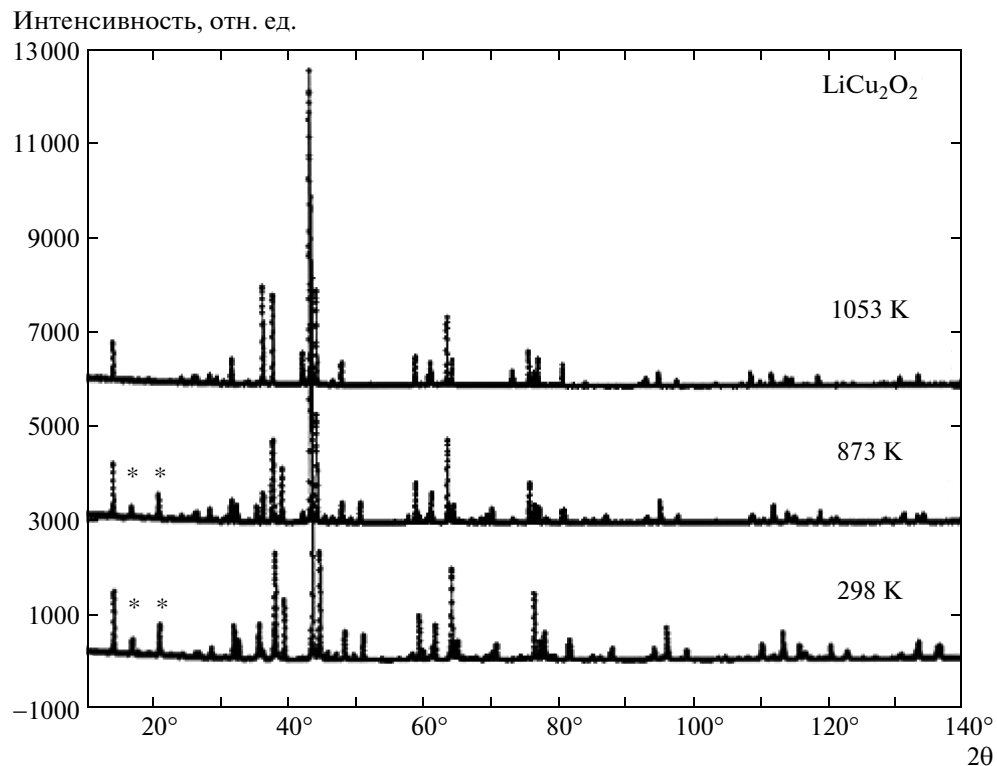


Рис. 2. Дифрактограммы LiCu_2O_2 при $T = 298 \text{ K}$, 873 K , 1053 K (рефлексы низкотемпературной формы, которые отсутствуют на дифрактограмме высокотемпературной формы, отмечены звездочкой)

ленного охлаждения расплава $80\text{CuO}\cdot20\text{Li}_2\text{CO}_3$ в алюндовых тиглях по описанной в работе [24] методике. Полученные кристаллы имеют черный цвет, характеризуются пластинчатым габитусом с развитыми гранями $\{001\}$ и менее развитыми гранями $\{210\}$. Вдоль плоскостей (001) кристаллы проявляют выраженную спайность. Размеры кристаллов достигали $4 \times 10 \times 10 \text{ mm}^3$. Для термогравиметрических и рентгенодифракционных исследований выбранные монокристаллы LiCu_2O_2 были растерты в порошок в агатовой ступке.

Фазовая идентификация полученных кристаллов была выполнена с использованием рентгеновского дифрактометра Bruker D8 Advance diffractometer (монохроматизированное $K_{\alpha 1}$ -излучение Сu, схема фокусировки — по Брэггу–Брентано). Дифрактограмма порошка полученных кристаллов при комнатной температуре (рис. 2) согласуется с данными по LiCu_2O_2 [1] и с базой данных ICDD (карточка PDF 80-2401). Все рефлексы дифрактограммы индицируются на основе ромбической фазы (пр. гр. $Pnma$) с размерами элементарной ячейки, равными $a = 5.7295(4) \text{ \AA}$, $b = 2.8599(3) \text{ \AA}$, $c = 12.4161(5) \text{ \AA}$.

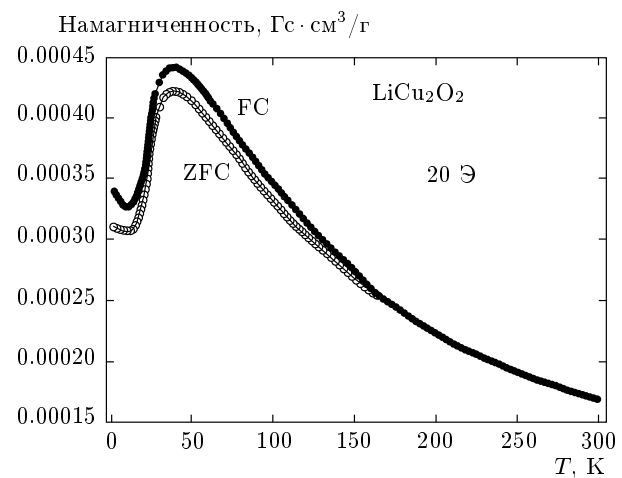


Рис. 3. Температурные зависимости намагниченности кристаллов LiCu_2O_2 , измеренные в условиях FC и ZFC в магнитном поле 20 Э

Для более полной аттестации исследуемых кристаллов на них были проведены измерения температурной зависимости намагниченности $M(T)$ в области 5–300 K (рис. 3). Измерения выполнены на

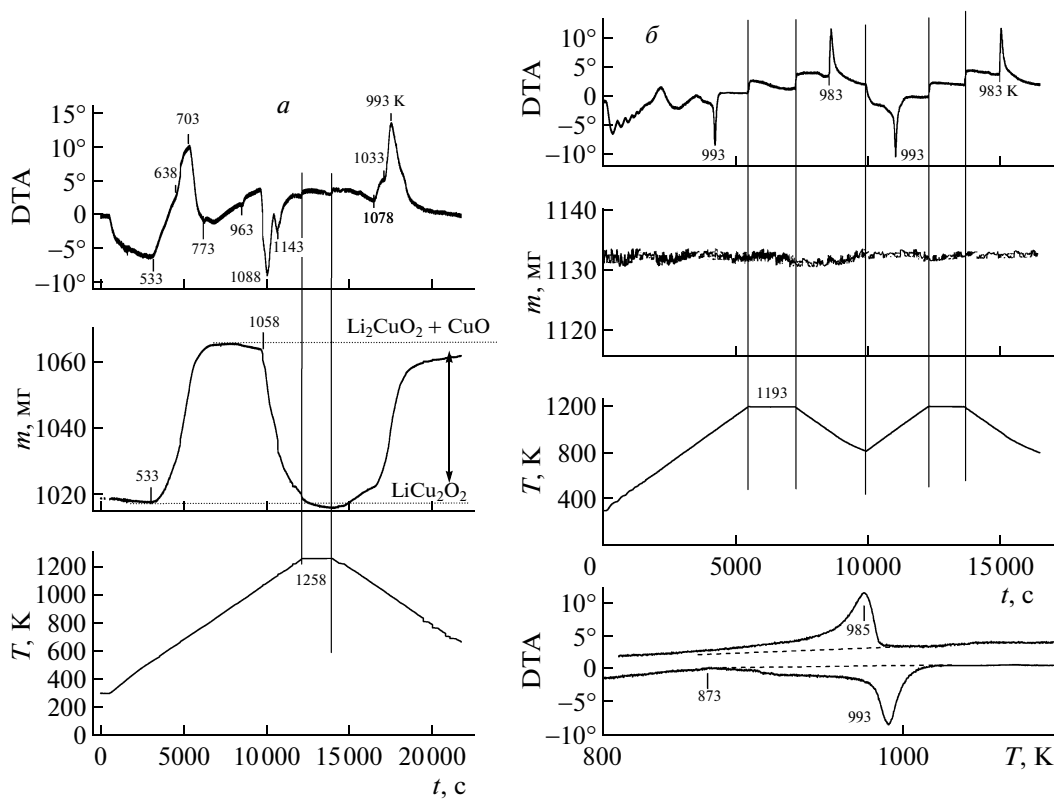


Рис. 4. Термограммы порошка монокристаллов LiCu_2O_2 , полученные в воздушной (*а*) и в аргоновой (*б*) атмосферах (DTA — кривая дифференциального термического анализа, m — масса образца, T — температура, t — время). Характерные температуры указаны на кривых ДТА

СКВИД-магнитометре от Quantum Design Inc, в слабом магнитном поле ($H = 20$ Гц) в режимах ZFC (охлаждение без поля) и FC (охлаждение в поле). На ZFC- и FC-кривых $M(T)$ наблюдается довольно широкий максимум в области $T = 37$ К, имеются также изломы при температурах T_{N1} и T_{N2} магнитных фазовых переходов. Эти данные по зависимости $M(T)$ подобны приводимым ранее в литературе для LiCu_2O_2 [8, 12, 14, 15, 17–22]. На FC-зависимости $M(T)$, кроме того, довольно четко проявляется излом в области $T = 150$ К, о котором сообщалось ранее в работе [21].

Термогравиметрические исследования выполнены на автоматизированном дериватографе Q-1500D системы Паулик–Эрдея. Исследуемый и эталонный порошковые образцы помещались в Pt-тигли. В качестве эталонного образца использовали при этом прокаленный при $T = 1200$ °С порошок $\alpha\text{-Al}_2\text{O}_3$.

Найдено, что при нагреве LiCu_2O_2 в воздушной атмосфере, в соответствии с данными [24], в области $T = 533$ –773 К происходит распад фазы

LiCu_2O_2 на Li_2CuO_2 и CuO . Значение увеличения при этом массы образца (рис. 4*a*) соответствует переходу всего Cu^+ в состояние Cu^{2+} , что подтверждает стехиометрию фазы $\text{LiCu}^{2+}\text{Cu}^+\text{O}_2$ в изучаемых кристаллах. При более высоких температурах, в диапазоне термической устойчивости фазы LiCu_2O_2 (1163 К $< T < 1323$ К), наблюдается уменьшение массы, соответствующее обратной реакции образования фазы LiCu_2O_2 из продуктов ее разложения.

При нагреве LiCu_2O_2 в атмосфере аргона фаза сохраняет термическую устойчивость вплоть до температуры плавления (около 1320 К). На кривой ДТА при нагреве при $T_{PT} = 993$ К наблюдается четкий эндотермический пик, при этом масса образца не изменяется (рис. 4*b*). Эти данные свидетельствуют о том, что при указанной температуре происходит фазовый переход первого рода. При охлаждении на кривой ДТА при $T = 983$ К наблюдается экзотермический пик, указывающий на обратимость фазового перехода. Наблюдаемые пики ДТА хорошо воспроизводятся при повторных измерениях.

Площадь (ΔA) под пиком ДТА при фазовом переходе позволяет оценить энталпию (теплоту) перехода:

$$\Delta H = KM\Delta A,$$

где K — фактор калибровки, M — молярная масса. Для калибровки площади использовали термограмму порошка BaCO_3 , снятую в аналогичных условиях, и сведения [29] о теплоте фазового перехода, происходящего при $T = 1079$ К в фазе BaCO_3 (16.2 кДж/моль). Найденная таким образом величина удельной теплоты фазового перехода при $T_{PT} = 993$ К оказалась равной 4.05 кДж/моль. Отсюда изменение энтропии при обнаруженному в LiCu_2O_2 фазовом переходе равно

$$\Delta S = \Delta H/T_{PT} = 4.1 \text{ Дж}/(\text{моль} \cdot \text{К}) = R \ln(1.7),$$

$R = 8.31 \text{ Дж}/(\text{моль} \cdot \text{К})$ — универсальная газовая постоянная.

Высокотемпературные рентген-дифракционные исследования были выполнены методом порошка в области температур 300–1100 К с использованием высокотемпературной камеры Anton Paar XRK 900. Эксперимент проводился в защитной атмосфере гелиевого газа, поскольку при нагревании фазы LiCu_2O_2 в воздушной атмосфере при $T > 550$ К происходит ее разложение [24]. Для исключения предпочтительной ориентации кристаллитов в исследуемом порошковом образце он приготавливался следующим образом. Была получена порошковая суспензия LiCu_2O_2 в этаноле, которая наносилась на подложку Si, после высыхания этой суспензии на подложке оставалась хаотичная ориентация кристаллитов.

Рентгеновские измерения обнаруживают при нагреве обратимый структурный фазовый переход первого рода между ромбической и тетрагональной формами LiCu_2O_2 при $T_{PT} = 993$ К (983 К при охлаждении). При T_{PT} на температурных зависимостях параметров элементарной ячейки проявляются скачкообразные изменения (рис. 5), рефлексы (hkl) с $h = 2n + 1$, наблюдаемые на снятых при $T < T_{PT}$ дифрактограммах, при температурах выше T_{PT} отсутствуют (рис. 2). Наблюдаемые систематические погасания рефлексов указывают, что самой вероятной для высокотемпературной тетрагональной формы LiCu_2O_2 является примитивная пространственная группа симметрии. Определенная рентгенографически температура фазового перехода согласуется с результатами термического анализа.

Анализ полученных дифракционных данных показывает, что высокотемпературная фаза имеет тетрагональную симметрию с размерами элементарной

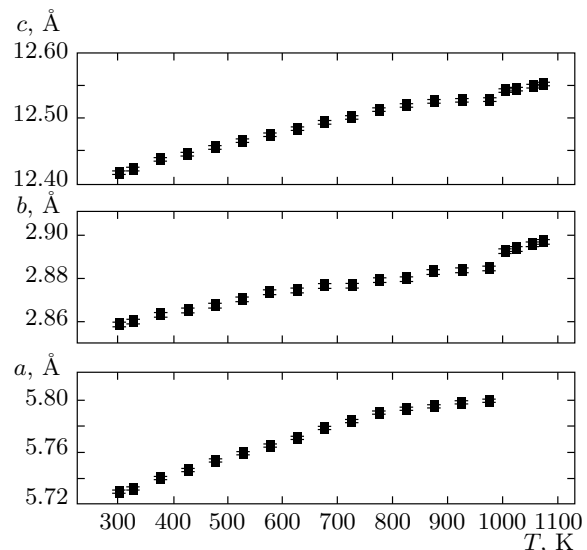


Рис. 5. Температурная зависимость параметров a , b и c элементарной ячейки LiCu_2O_2

ячейки, равными $a = 2.8959(4)$ Å и $c = 12.5490(6)$ Å (при $T = 1053$ К). Таким образом, при фазовом переходе в тетрагональную форму параметр a элементарной ячейки уменьшается примерно вдвое и становится равным параметру b , параметры b и c сохраняют свои значения. Параметр порядка для фазового перехода может быть определен как «ромбическое напряжение», равное $(a - 2b)/(a + 2b)$.

При повышении температуры до T_{PT} наблюдается постепенное, почти линейное увеличение размеров a , b и c (рис. 5) ромбической элементарной ячейки с тепловыми коэффициентами расширения, равными соответственно $\alpha_a = 11.2 \cdot 10^{-5}$ 1/K, $\alpha_b = 4.2 \cdot 10^{-5}$ 1/K и $\alpha_c = 19.2 \cdot 10^{-5}$ 1/K. Тепловое расширение довольно анизотропно: наиболее сильно оно проявляется вдоль направления c и наиболее слабо — вдоль направления b .

Электрофизические измерения. С использованием автоматизированного измерителя LCR/ESR MT4090 (фирмы Motech) в диапазоне температур 300–1100 К выполнены измерения электрического сопротивления на постоянном (dc) и на переменном (ac) токе с частотами 0.1, 1, 10, 100, 200 кГц. Для электрофизических исследований из кристаллов были вырезаны пластины с базисными плоскостями, параллельными соответственно граням (001) и (210). Площадь базисной грани и толщина пластин были равны соответственно примерно 10 мм^2 и 1–2 мм. На базисные поверхности пластин путем вжигания серебряной пасты были нанесены электроды из Ag.

При нагреве наблюдается постепенное увеличение удельного электрического сопротивления ρ , пока температура не достигает температуры фазового перехода $T_{PT} = 993$ К, при которой происходит резкое уменьшение сопротивления. Такие резкие скачкообразные изменения сопротивления наблюдаются при измерениях в режимах и нагрева и охлаждения кристалла как вдоль, так и перпендикулярно его кристаллографической оси c . Величина сопротивления слабо зависит от частоты, удельные сопротивления $d\sigma$ и $a\sigma$ имеют близкие значения. Отсюда, считая, что электроды из Ag являются блокирующими для ионной компоненты проводимости, можно заключить, что преобладающий вклад в проводимость дает электронная компонента.

В диапазоне температур 873–993 К наблюдается гистерезис удельного сопротивления: величины $\rho(T)$ при нагреве заметно меньше, чем при охлаждении. Температурная зависимость удельного сопротивления в диапазоне $T = 300$ –550 К в координатах $\lg \rho - (1/T)$ имеет линейный характер, вычисленная на этих участках величина энергии активации составляет $E_a = 0.07$ эВ, 0.17 эВ соответственно вдоль и перпендикулярно оси c .

3. ОБСУЖДЕНИЕ РЕЗУЛЬТАТОВ ИССЛЕДОВАНИЙ

Результаты термогравиметрических, рентгенодифракционных измерений и измерений удельного электрического сопротивления указывают, что в кристаллах LiCu_2O_2 при $T = 993$ К происходит обратимый фазовый переход первого рода с изменением симметрии от ромбической до тетрагональной. Ромбическая симметрия низкотемпературной фазы обусловлена, главным образом, вытянутостью $\text{Cu}^{2+}-\text{O}$ -и Li^+-O -цепей вдоль оси b . Повышение симметрии исходной ромбической формы до тетрагональной возможно только путем статистического или упорядоченного перераспределения катионов Cu^{2+} и Li^+ в их структурных позициях, приводящего к усреднению указанных цепей в направлениях вдоль осей a и b , делающих их в результате эквивалентными (см. рис. 1).

Найденная величина изменения энтропии ($\Delta S = R \ln 1.7$) при фазовом переходе указывает на значительный позиционный беспорядок в высокотемпературной фазе [30], поэтому можно прийти к заключению, что наблюдаемый фазовый переход относится к фазовым переходам типа порядок–беспорядок. Судя по форме кривой ДТА (рис. 4б), процесс ра-

зупорядочения в подрешетках Li^+ и Cu^{2+} при повышении температуры начинается приблизительно с $T = 870$ К, дальнейшее увеличение температуры сопровождается постепенным увеличением степени беспорядка, этот процесс резко завершается при температуре фазового перехода $T_{PT} = 993$ К.

Возможность взаимозаменяемости катионов Li^+ и Cu^{2+} в кристаллической структуре LiCu_2O_2 вызвана близостью их ионных радиусов Li^+ (0.73 Å) и Cu^{2+} (0.71 Å) [31] и одинаковым окружением кислородом обоих катионов в полиздрах $[\text{MO}_5]$ -структуре. Такое разупорядочение катионов Li^+ и Cu^{2+} в структурных позициях было ранее установлено рентгеноструктурным анализом при комнатной температуре в кристаллах близкой по составу и строению фазы LiCu_3O_3 , химическая формула которой может быть представлена как $(\text{Li}_{1.2}^{+}\text{Cu}_{0.8}^{2+})\text{Cu}^+(\text{Li}_{0.8}^{+}\text{Cu}_{1.2}^{2+})\text{O}_3$ [32].

Как видно из результатов электрических измерений (рис. 6), разупорядочение катионов в подрешетках Li^+ и Cu^{2+} при фазовом переходе вызывает понижение величины электрического сопротивления. Отмеченные выше гистерезисные явления степени разупорядочения катионов при нагревании и охлаждении кристаллов в области от $T = 873$ К до T_{PT} вызывают наблюдаемый в этой же области температур гистерезис удельного сопротивления.

Полученные результаты позволяют объяснить наблюдаемое в монокристаллах LiCu_2O_2 полисинтетическое двойникование [1, 6–11, 13–18]. Очевидно, оно связано с понижением симметрии от тетрагональной до ромбической при охлаждении кристаллов ниже температуры обнаруженного нами фазового перехода. Фазовый переход с изменением симметрии кристалла от тетрагональной до ромбической относится согласно работе [33] к сегнетоэластическим фазовым переходам, поэтому кристаллы LiCu_2O_2 можно отнести к сегнетоэластикам. Таким образом, мультиферроидность кристаллов LiCu_2O_2 проявляется сочетанием у них магнитного упорядочения не только с сегнетоэлектричеством, но и с сегнетоэластическими свойствами.

4. ЗАКЛЮЧЕНИЕ

Выполненные высокотемпературные исследования монокристаллов LiCu_2O_2 обнаруживают обратимый фазовый переход первого рода при $T_{PT} = 993$ К. При T_{PT} проявляется четкий пик на кривой ДТА, наблюдаются скачок параметров кристаллической решетки с изменением симметрии от

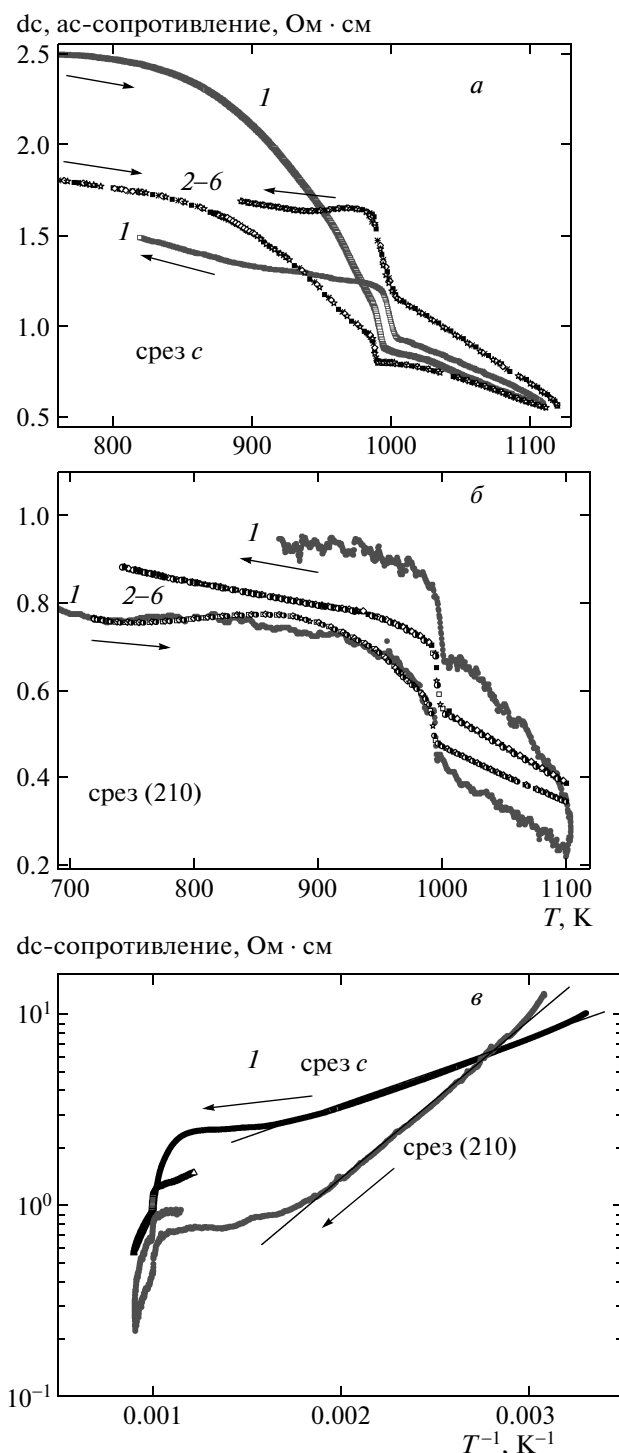


Рис. 6. Температурные зависимости удельного электрического сопротивления ρ кристаллов LiCu_2O_2 , измеренные вдоль (*a*, *c*) и перпендикулярно (*b*, *e*) к оси *c* в режимах нагрева и охлаждения кристаллов (*a* и *b*); кривые 1 соответствуют удельному dc-сопротивлению, кривые 2–6 — удельному ac-сопротивлению соответственно на частотах 0.1, 1, 10, 100 и 200 кГц

ромбической до тетрагональной и скачкообразное изменение удельного электрического сопротивления.

Особенности кристаллической структуры LiCu_2O_2 и величина изменения энтропии при фазовом переходе предполагают, что за фазовый переход ответственны процессы упорядочения–разупорядочения катионов Li^+ и Cu^{2+} в их структурных позициях.

Окончательное распределение указанных катионов в их структурных позициях зависит от режима охлаждения кристалла от высоких температур до комнатной температуры. Перераспределение катионов Li^+ и Cu^{2+} в их позициях, с одной стороны, нарушает однородность лестничной структуры, с другой стороны, вызывает появление обменной связи между изолированными лестничными парами цепочек через ионы Cu^{2+} , занявшие позиции ионов лития. Поэтому такое перераспределение должно, очевидно, оказывать существенное влияние на особенности электрических и магнитных свойств рассматриваемых кристаллов. В частности, сообщалось [3] о существенном изменении магнитных свойств и ЭПР-спектров кристаллов LiCu_2O_2 после их закалки от высоких температур. В этой связи для получения воспроизводимых результатов исследований физических свойств кристаллов LiCu_2O_2 следует тщательно контролировать условия их получения и, соответственно, окончательное распределение катионов Li^+ и Cu^{2+} в их структурных позициях.

Авторы благодарны Р. Бергеру за многочисленные полезные обсуждения полученных результатов, М. Худлу и П. Анилу Кумару за техническую поддержку.

Работа выполнена при финансовой поддержке РФФИ (грант № 12-02-00960а) и Шведской Академии наук.

ЛИТЕРАТУРА

1. R. Berger, A. Meetsma, and S. van Smaalen, *J. Less-Common Metals* **175**, 119 (1991).
2. D. A. Zatsepин, V. R. Galakhov, M. A. Korotin et al., *Phys. Rev. B* **57**, 4377 (1998).
3. А. М. Воротынов, А. И. Понкрац, Г. А. Петраковский и др., *ЖЭТФ* **113**, 1866 (1998).

4. F. C. Fritschij, H. B. Brom, and R. Berger, Sol. St. Comm. **107**, 719 (1998).
5. B. Roessli, U. Staub, A. Amato et al., Physica B **296**, 306 (2001).
6. S. Zvyagin, G. Cao, Y. Xin et al., Phys. Rev. B **66**, 064424 (2002).
7. K. Y. Choi, S. A. Zvyagin, G. Cao, and P. Lemmens, Phys. Rev. B **69**, 104421 (2004).
8. T. Masuda, A. Zheludev, A. Bush et al., Phys. Rev. Lett. B **92**, 177201 (2004).
9. A. A. Gippius, E. N. Morozova, A. S. Moskvin et al., Phys. Rev. B **70**, 020406 (2004).
10. T. Masuda, A. Zheludev, B. Roessli et al., Phys. Rev. B **72**, 014405 (2005).
11. S. Park, Y. J. Choi, C. L. Zhang, and S.-W. Cheong, Phys. Rev. Lett. **98**, 057601 (2007).
12. P. Zheng, J.-L. Luo, D. Wu et al., Chin. Phys. Lett. **25**, 3406 (2008).
13. Л. Е. Свистов, Л. А. Прозорова, А. М. Фарутин и др., ЖЭТФ **108**, 1151 (2009).
14. A. Rusydi, I. Mahns, S. Miller et al., Appl. Phys. Lett. **92**, 262506 (2008).
15. S. Seki, Y. Yamasaki, M. Soda et al., Phys. Rev. Lett. **100**, 127201 (2008).
16. S. W. Huang, D. J. Huang, J. Okamoto et al., Phys. Rev. Lett. **101**, 077205 (2008).
17. Y. Yasui, K. Sato, Y. Kobayashi, and M. Sato, J. Phys. Soc. Jpn. **78**, 084720 (2009).
18. M. Kobayashi, K. Sato, Y. Yasui et al., J. Phys. Soc. Jpn. **78**, 084721 (2009).
19. H. C. Hsu, W. L. Lee, J.-Y. Lin et al., Phys. Rev. B **81**, 212407 (2010).
20. H. C. Hsu, J.-Y. Lin, W. L. Lee et al., Phys. Rev. B **82**, 094450 (2010).
21. E. A. Tishchenko, O. E. Omelyanovskii, A. V. Sadakov et al., Sol. St. Phenomena. Trend in magnetism **168–169**, 497 (2011).
22. A. A. Bush, V. N. Glazkov, M. Hagiwara et al., Phys. Rev. B **85**, 054421 (2012).
23. А. Ф. Садаков, А. П. Геращенко, Ю. В. Пискунов и др., ЖЭТФ **142**, 753 (2012).
24. А. А. Буш, К. Е. Каменцев, Э. А. Тищенко, Неорг. матер. **40**, 51 (2004).
25. А. А. Буш, К. Е. Каменцев, ФТТ **46**, 433 (2004).
26. А. А. Фотиев, Б. В. Слободин, В. А. Фотиев, Химия и технология высокотемпературных сверхпроводников, УРП РАН, Екатеринбург (1994).
27. Crystal Chemistry of High- T_c Superconducting Copper Oxides, ed. by B. Raveau, C. Michel, M. Hervieu, and D. Groult, Springer, Berlin (1991).
28. M. Uehara, T. Nagata, J. Akimitsu et al., J. Phys. Soc. Jpn. **65**, 2764 (1996).
29. Landolt-Börnstein, Zahlenwerte und Funktionen aus Physik, Chemie, Astronomie, Geophysik, and Technik. 4 Teil. Springer-Verlag, Berlin (1961).
30. K. Binder, Rep. Progr. Phys. **50**, 783 (1987).
31. R. D. Shannon, Acta Cryst. A **32**, 731 (1976).
32. S. J. Hibble, K. Kohler, A. Simon et al., J. Sol. St. Chem. **88**, 534 (1990).
33. K. Aizu, Phys. Rev. B **2**, 754 (1970).